

# طراحی یک چندپره هیبرید سنگین وزن با برد و قابلیت حمل بار بالا به منظور استفاده در مدیریت بحران

تاریخ دریافت: ۱۴۰۱/۰۱/۲۲

تاریخ پذیرش: ۱۴۰۱/۰۶/۰۱

سپهر سعادت<sup>۱</sup>, سید مجید اسماعیلی فر<sup>۲\*</sup>, فریبوز مسروور<sup>۳</sup>

۱- دانشجوی دکتری، دانشکده مهندسی هوافضا، دانشگاه صنعتی امیرکبیر، تهران

۲- استادیار، دانشکده مهندسی هوافضا، دانشگاه صنعتی امیرکبیر، تهران, esmailifar@aut.ac.ir

۳- کارشناس ارشد، پژوهشکده سامانه‌های حمل و نقل فضایی، پژوهشگاه فضایی، تهران

## چکیده

در این مقاله، طراحی مفهومی یک چندپره<sup>۱</sup> بدون سرنشین با ساختار جدیدی که کاربرد اصلی آن مدیریت بحران است، انجام می‌شود. بُرد پروازی این چندپره ۴۰۰ کیلومتر (۲۰۰ کیلومتر برگشت) بوده و قابلیت حمل ۸۰۰ کیلوگرم بار را دارد. همچنین سرعت پرواز مستقیم آن ۱۰۰ کیلومتر در ساعت است. تاکنون چند پره‌ای با ویژگی‌های عملکردی گفته شده طراحی نشده است. با توجه به عملکرد تعریف شده، سیستم پیشران الکتریکی قابل استفاده نبوده و سیستم پیشران هیبرید برای این چندپره مناسب است. با بررسی بیشتر در مورد انواع روش‌های هیبریدسازی، سیستم پیشران هیبرید بدون تبدیل انرژی به عنوان طرح پیشنهادی انتخاب شد. طراحی مفهومی مبتنی بر وزن برخاست انجام می‌شود، یعنی ابتدا وزن برخاست تخمین زده شده، سپس بر اساس آن زیرسیستم‌های چندپره طراحی می‌شوند. درنهایت جمع کل وزن زیرسیستم‌ها با مقدار تخمینی وزن برخاست مقایسه می‌شود. در صورت تفاوت زیاد، روند دوباره تکرار می‌شود تا درنهایت دو عدد همگرا شوند. در این مقاله آخرین حلقة طراحی ارائه شده و مشخصات سیستم پیشران الکتریکی، سوختی و سیستم انتقال قدرت و سازه محاسبه می‌شود.

واژه‌های کلیدی: چندپره فوق سنگین، سیستم پیشران هیبرید، طراحی مفهومی، مدیریت بحران

## Design of a hybrid heavy multirotor with long range and high payload carrying capacity for using in disaster management

Sepehr Saadat<sup>1</sup>, Seyyed Majid Esmailifar<sup>2</sup>, Fariborz Masroor<sup>3</sup>

1 Ph.D. Student, Department of Aerospace Engineering, Amirkabir University of Technology, Tehran, Sepehr.saadat@aut.ac.ir

2 Assistant Professor, Department of Aerospace Engineering, Amirkabir University of Technology, Tehran, esmailifar@aut.ac.ir

3 Masters Graduate, Space Transportation Research Institute, Iranian Space Research Center, Tehran

### Abstract

This study presents the conceptual design of an unmanned multirotor with a novel configuration whose main application is disaster management. This multirotor can carry 800 kg of cargo for a range of 400 km, and its forward flight speed is 100 km/h. A multirotor with the specified performance parameters has not yet been developed. Due to the stipulated performance, the electric propulsion system is inapplicable and hybrid propulsion system is considered for this multirotor. The hybrid propulsion system without energy conversion was selected for the proposed design after further investigation of alternative hybridization approaches. Multirotor subsystems are conceptually designed based on take-off weight, i.e., take-off weight is first estimated, and then multirotor subsystems are designed based on it. Finally, the overall subsystems' weight is compared to the predicted take-off weight. If there is a significant discrepancy, the procedure is repeated until the two values converge. This paper presents the last design loop, and the specifications of the electric propulsion system, fuel propulsion system, power transmission system, body structure, and skid are calculated.

**Keywords:** Super Heavy Multirotor, Hybrid Propulsion System, Conceptual Design, Disaster Management

## ۱. مقدمه

برخی از مقاله‌ها به تحقیق و آزمایش در رابطه با استفاده از پهپاد بهمنظور حمل و نقل اقلام ضروری در زمان بحران پرداخته‌اند. مرجع [۵] به بررسی حمل و نقل دارو و غذا با استفاده از پهپاد، در شرایط وقوع بحران و در حالی که خیابان‌ها بسته شده‌اند، می‌پردازد. در این مقاله پهپادها ۱۷ کیلوگرم دارو را تا مسافت ۱۰۰ متر حمل کرده و به یک گروه امدادگر می‌رسانند. پهپادها از نوع چندپره بوده و هدایت آن‌ها به صورت دستی توسط کاربر انجام شده است. نتیجه آزمون‌ها در این مقاله موفقیت‌آمیز است. همچنین در [۶-۸] امکان حمل و نقل بسته‌های حاوی خون به وسیله پهپادها بررسی شده است. طبق این مراجع استفاده از پهپاد برای حمل و نقل بسته‌های خون موفقیت‌آمیز بوده و کیفیت خون حمل شده دستخوش تغییر نشده است.

در بسیاری از بحران‌ها نیاز به ارسال بارهای بزرگ و سنگین از خارج از منطقه بحران وجود دارد. برای نمونه در زلزله‌های شدید، نیاز به برپایی اسکان موقت (کانکس و چادر) برای کسانی که محل زندگی آن‌ها تخریب شده، وجود دارد یا در زمان سیل نیاز به انتقال مواد غذایی برای تعداد زیادی از ساکنان شهر وجود دارد، در حالی که امکان استفاده از وسایل نقلیه زمینی نیست. هم‌زمان با مراجعی که موضوع حمل و نقل اقلام ضروری توسط پهپاد مطرح شده، مقدار وزن بار کم (حداکثر ۱۷ کیلوگرم) و مداومت پروازی نیز کوتاه (حداکثر ۴۵ دقیقه) است. از طرف دیگر باید این نکته را لحاظ کرد که در بسیاری از مناطق باند فرود وجود ندارد. بنابراین پهپادهایی که قابلیت فرود بدون باند را داشته باشد، برای امدادرسانی به این مناطق عملکرد بهتری را خواهند داشت. چندپره‌ها از جمله پهپادهایی

به‌طور خلاصه، بحران به معنای وقوع بلاعطبیعی در مقیاس بزرگ (حدائق در مقیاس یک شهر) است که در آن خسارت‌های جانی یا مالی به افراد ساکن وارد می‌شود. سالانه در جهان افراد زیادی براثر بحران‌های طبیعی جان خود را از دست می‌دهند. ایران نیز از جمله کشورهای حادثه‌خیز در جهان به شمار می‌رود. آمارها نشان می‌دهند که از سال ۱۹۹۰ تا ۲۰۲۰ میلادی بیش از ۷۰۰۰ نفر در ایران جان خود را براثر بحران‌های طبیعی از دست داده‌اند [۱]. همچنین، آمارها حاکی از این هستند که زلزله و سیل اصلی‌ترین و مرگبارترین بلاعی طبیعی در ۳۰ سال اخیر ایران بوده‌اند [۱]. ساعت‌های نخستین پس از وقوع یک بحران، اهمیت بسیار زیادی دارند و سرعت عمل در مواجهه با بحران، یکی از عوامل اصلی موفقیت در مدیریت بحران است [۲، ۳]. یکی از روش‌های سریع امدادرسانی، استفاده از پهپادهای [۳]. همچنین در شرایطی که راه‌های زمینی مسدود می‌شوند و امکان استفاده از وسایل نقلیه زمینی وجود ندارد، پهپادها از جمله وسایلی هستند که قابلیت امدادرسانی دارند.

در سال‌های اخیر استفاده از پهپادها در مدیریت بحران روند افزایشی داشته است. همچنین در پنج سال گذشته تعداد تأییفات در زمینه استفاده از پهپاد در مدیریت بحران افزایش چشمگیری داشته است [۴]. کاربرد پهپاد در مدیریت بحران به چهار دسته کلی تقسیم می‌شود: نقشه‌برداری (به منظور ارزیابی خسارت)، عملیات جستجو و نجات، حمل و نقل اقلام ضروری و آموزش [۴].

۶۲

سال ۱۱ - شماره ۱

پیار و تابستان ۱۴۰۱

نشریه علمی دانش و

فناوری هوا فضا



۶۳

۶۴

۶۵

۶۶

۶۷

۶۸

۶۹

۷۰

۷۱

۷۲

۷۳

۷۴

۷۵

۷۶

۷۷

۷۸

۷۹

۸۰

۸۱

۸۲

۸۳

۸۴

۸۵

۸۶

۸۷

۸۸

۸۹

۹۰

۹۱

۹۲

۹۳



خواهد داشت. در نقشه زیر محدوده‌هایی با شعاع ۲۰۰ کیلومتر در کشور مشخص شده‌اند. طبق شکل ۱ تعداد آشیانه‌های پهپادی موردنیاز برای پوشش‌دهی کل کشور برابر با ۱۴ عدد است. با در نظر گرفتن سرعت کروز ۱۰۰ کیلومتر بر ساعت، حداقل زمان کمکرسانی در کل کشور برابر با دو ساعت خواهد بود.

برای پوشش‌دهی کل مناطق کشور، ارتفاع پروازی پهپاد از سطح دریا باید به اندازه‌ای باشد که قابلیت دسترسی به تمام مناطق مسکونی را داشته باشد. طبق شکل ۲، ارتفاع از سطح دریا در بیش از ۹۵ درصد از اراضی کشور کمتر از ۳ کیلومتر است. همچنین مرتفع‌ترین شهر ایران، فریدون‌شهر با حدود ۲۵۰۰ متر ارتفاع از سطح دریاست، در حالی که تمام مناطق مسکونی ایران ارتفاعی کمتر از ۳ کیلومتر دارند. بنابراین ارتفاع کروز پهپاد به اندازه ۳ کیلومتر لحاظ می‌شود. بنابراین در این مقاله چندپره‌ای با قابلیت حمل بارها در ارتفاع ۳ کیلومتر از سطح دریا طراحی می‌شود.

منبع توان چندپره‌های متداول باتری است. انرژی مخصوص باتری‌ها بسیار کمتر از سوخت‌های فسیلی است [۹]؛ بنابراین مداومت پروازی این چندپره‌ها کم بوده (اغلب کمتر از ۴۵ دقیقه) [۱۰] و درنتیجه بُرد چندپره‌های متداول چندان زیاد نیست. یک ایده برای حل این مسئله این است که از سوخت‌های فسیلی که چگالی انرژی بالایی دارند، برای تأمین توان استفاده کرد. در این راستا، در سال‌های اخیر چندپره‌های بدون سرنشین هیبرید توسعه یافته‌اند. سایر مراجع چندپره هیبرید، ساختار هیبرید سری را توسعه

هستند که برای فرود نیاز به باند نداشته، هزینه طراحی و ساخت آن‌ها بسیار کمتر از پهپادهای عمودپرواز<sup>۲</sup> است. در حال حاضر این نوع مأموریت‌ها در ایران با استفاده از بالگردها صورت می‌گیرد. پهپادها مزایای زیادی نسبت به بالگردها دارند که از جمله می‌توان به هزینه طراحی و ساخت کمتر و قابلیت راهاندازی سریع‌تر اشاره کرد. الزامات طراحی که برای وسایل پرنده سرنشین دار در استانداردهای صلاحیت پروازی در نظر گرفته می‌شود، سخت‌گیرانه‌تر از وسایل بدون سرنشین است. این مسئله باعث بیشتر شدن هزینه ساخت وسایل سرنشین دار می‌شود. از طرف دیگر به دلیل نبود خلبان، تمام تجهیزات مربوط به آن نیز در چندپره حذف می‌شود. برای مثال صفحه‌های نمایش، صندلی و تمام ابزارهای مربوط به انتقال فرمان کنترل از جانب خلبان به عملگرها حذف می‌شوند. بنابراین، در این مقاله روش طراحی یک چندپره با قابلیت حمل بارهای سنگین ارائه می‌شود. از آنجایی که قابلیت حمل بار بالگردهای متوسط حدود ۸۰۰ کیلوگرم است، وزن بار قابل حمل چندپره برابر با ۸۰۰ کیلوگرم لحاظ می‌شود تا قابلیت جایگزینی با بالگرد را داشته باشد.

برای پوشش‌دهی کل مناطق کشور، در چند منطقه باید آشیانه پهپاد احداث شود. هرچه برد پهپاد بیشتر شود، نیاز به آشیانه‌های پهپادی کمتری در سطح کشور وجود خواهد داشت. اما در این صورت فاصله مراکز از یکدیگر بیشتر بوده و با توجه به محدودیت سرعت چندپره، مدت زمان کمکرسانی طولانی‌تر خواهد بود. در این مقاله مقدار برد مطلوب برابر با ۴۰۰ کیلومتر در نظر گرفته می‌شود که در این صورت قابلیت پوشش‌دهی منطقه‌ای به شعاع ۲۰۰ کیلومتر را



سازمان اسناد و کتابخانه ملی  
جمهوری اسلامی ایران

داده‌اند [۱۰-۱۴]. در ساختار هیبرید سری، موتور پیستونی فقط از موتورهای الکتریکی برای تأمین توان ملخ‌ها استفاده می‌شود، اما یک موتور پیستونی وجود دارد که توان خروجی آن با یک ژنراتور به انرژی الکتریکی تبدیل شده و باتری‌ها را شارژ می‌کند [۱۰]. در مراجعی که سیستم پیشران هیبرید سری را بررسی کرده‌اند، وزن برخاست چندپره‌ها کمتر از ۱۰۰ کیلوگرم است. در پهپادهای دارای سیستم پیشران هیبرید سری، هرچه وزن بیشتر باشد، توان موتور پیستونی افزایش یافته و درنتیجه باید تبدیل انرژی بیشتری انجام شود و ژنراتور سنگین‌تری را انتخاب کرد. اما در چندپره‌هایی که انرژی موتور پیستونی به طور مستقیم به نیروی پیشران تبدیل می‌شود، این مسئله وجود ندارد.

در مراجع [۱۵، ۱۶] ساختارهای دیگری برای چندپره هیبرید معرفی شده است. در مرجع [۱۵] نویسنده ساختار جدیدی را برای چندپره‌های الکتریکی مطرح کرده و طراحی و ساخت آن را انجام داده است. چندپره الکتریکی در این مرجع شش موتور الکتریکی دارد. دو موتور الکتریکی در وسط بدن و در دو طرف محور عرضی بدن قرار می‌گیرند. هر کدام از ملخ‌های بزرگ با یک موتور پیستونی و به واسطه یک گیربکس گردانده می‌شوند. همچنین چهار ملخ کوچک در گوشه‌های بدن نصب می‌شوند که توان هر کدام به وسیله یک موتور الکتریکی تأمین می‌شود. انرژی لازم برای موتورهای الکتریکی با باتری تأمین می‌شود و هیچ نوع تبدیل انرژی در این چندپره انجام نمی‌شود. نوآوری‌های اصلی در این مقاله شامل موارد زیر است:

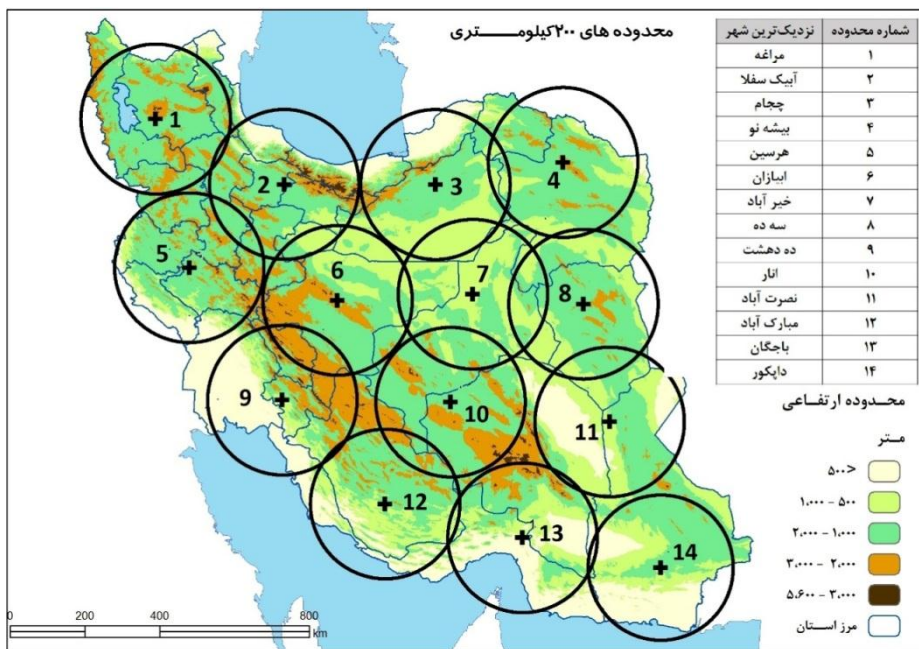
۱. جدید بودن ساختار طراحی‌شده برای چندپره بدون سرنشین؛  
۲. طراحی یک چندپره بدون سرنشین با مشخصات عملکردی مشابه با بالگردهای متوسط؛  
۳. ارائه روش طراحی برای چندپره‌های بدون سرنشین سنگین‌وزن با بد بالا.

## ۲. روند طراحی مفهومی

طراحی چندپره هیبرید بر اساس تخمین وزن

می شود؛ اگر این دو عدد با تقریب کافی برابر باشند، یعنی طراحی تکمیل شده و در غیر این صورت وزن برخاست اصلاح شده و دوباره روند تکرار می شود.

کل و محاسبه وزن اجزا صورت می گیرد؛ یعنی در ابتدا وزن برخاست شش پره تخمین زده می شود، سپس بر اساس این تخمین، تمام زیرسیستم‌ها طراحی می شوند. درنهایت حاصل جمع وزن زیرسیستم‌ها با وزن برخاست تخمینی مقایسه

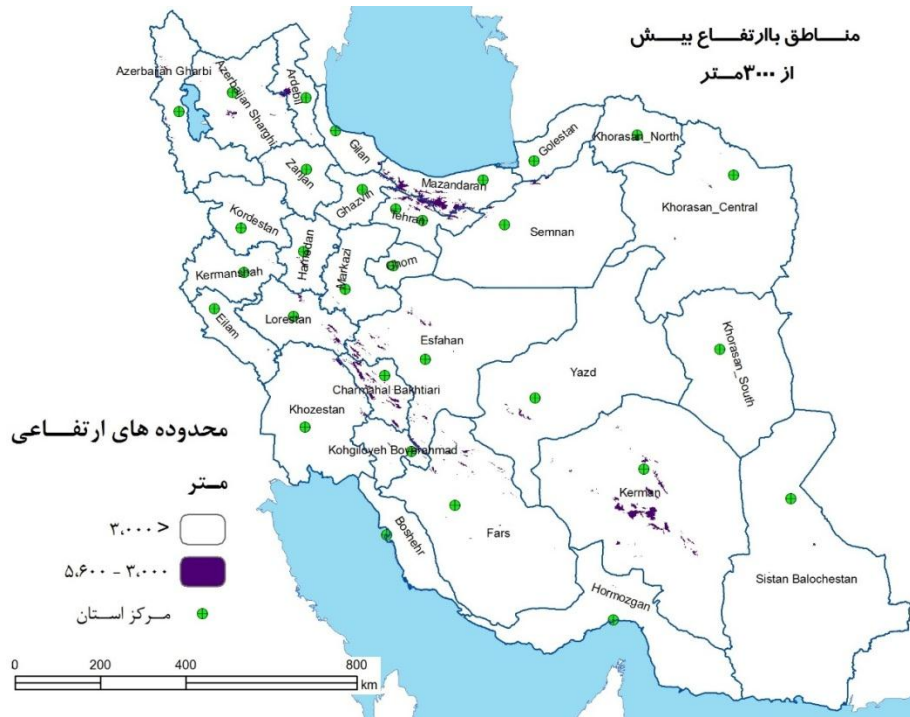


شکل ۱. محل پیشنهادی برای تأسیس آشیانه‌های پیپادی

سال ۱۱- شماره ۱  
بهار و تابستان ۱۴۰۱  
نشریه علمی دانش و  
فناوری هواشناسی



دانشمندانه  
لایه های  
نمایشگر اسناد  
برای  
مدیریت  
دریا و  
برآوردهای  
زمین و  
آب و  
جغرافیا



شکل ۲. مناطق دارای ارتفاع بیش از سه هزار متر از سطح دریا در ایران

پرنده‌های مشابه انجام می‌شود. در این روش با برآش منحنی بر داده‌های عملکردی نمونه‌های مشابه، وزن برخاست تخمین‌زده می‌شود. برای مثال می‌توان به روش راسکم در طراحی هواپیما اشاره کرد [۱۷]. با توجه به اینکه تعداد چند پره‌های هیبرید با وزن برخاست بالا بسیار محدود است، مشخصات عملکردی بالگردها و چندپره‌های الکتریکی سنگین وزن نیز جمع‌آوری شده است. در جدول ۱ اطلاعات عملکردی پرنده‌های مشابه (وزن برخاست، وزن بار و برد پروازی) ارائه شده است.

جدول ۱. اطلاعات عملکردی پرنده مشابه

برد (km)	وزن بار (kg)	حداکثر وزن برخاست (kg)	مدل پرنده	ردیف
۶۷۴	۱۱۷۳	۲۳۸۱	Bell 407	۱
۶۵۰	۹۲۹	۲۹۰۰	Airbus EC635	۲
۶۳۵	۹۷۱	۲۹۱۰	Airbus EC135	۳
۷۳۰	۸۴۰	۲۹۷۰	Bell 427	۴
۷۲۲	۱۲۲۵	۳۳۰۰	Bell 429	۵
۶۸۰	۹۶۶	۳۵۸۵	Airbus EC145e	۶
۵۱۵	۱۲۰۰	۳۶۰۰	Kazan Ansat	۷
۵۹۰	۱۱۳۲	۳۷۱۲/۵	Bell 222	۸
۶۰۰	۱۳۰۵/۹	۴۱۵۸	bell430	۹
۳۵۰	۲۵۰	۶۵۰	SKYF	۱۰
۳۲/۲	۲۲۵	۵۷۰	Boeing Boeing	۱۱
۳۵	۲۳۵	۳۱۰	Griff 300	۱۲
۳۵	۱۰۰	۳۶۰	Ehang 184	۱۳
۳۰	۲۶۰	۶۲۰	Ehang 216	۱۴
۴۴۸/۴	۷۷۲/۳	۲۲۸۷/۶	میانگین	

در شکل ۳ روند طراحی مفهومی چندپره در یک نمودار به تصویر کشیده شده است. تخمین وزن برخاست اولیه بر اساس وزن برخاست چندپره‌های مشابه انجام می‌شود (با توجه به اینکه در انتهای هر حلقه تخمین وزن برخاست اصلاح می‌شود، در تخمین اولیه نیازی به دقت بالا نیست). سپس سیستم پیشran سوختی بر اساس معیارهایی که در بخش مربوطه ارائه شده است، طراحی می‌شود. در گام بعدی با توجه به ابعاد ملخ طراحی شده، ابعاد کلی بدنه تعیین شده، سپس ممان اینرسی کل پرنده تخمین زده می‌شود. بر اساس تخمین ممان اینرسی و مقدار شتاب زاویه‌ای مورد نیاز (بر اساس معیارهای عملکردی سیستم کنترل)، سیستم پیشran الکتریکی طراحی می‌شود. درنهایت اسکلت سازه و اسکیدهای فرود بر اساس معیارهای استاندارد طراحی می‌شوند. سپس مجموع وزن تمام زیرسیستم‌ها محاسبه شده و با مقدار تخمینی وزن برخاست مقایسه می‌شود.

۶۶

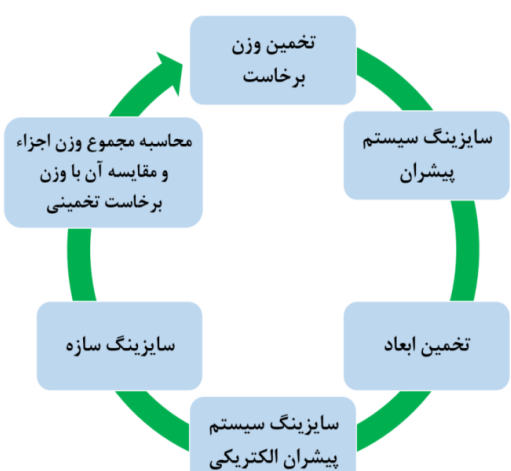
سال ۱۱- شماره ۱

بهار و تابستان ۱۴۰۱

نشریه علمی دانش و فناوری هوا فضا



دانشگاه هوانورد انتقالی اسلامی  
جذب  
دانشجویی  
دانشگاه هوانورد انتقالی اسلامی  
دانشگاه هوانورد انتقالی اسلامی



شکل ۳. روند طراحی چندپره هیبرید

### ۳. تخمین وزن برخاست

در طراحی وسایل پرنده، تخمین اولیه وزن برخاست اغلب بر اساس داده‌های آماری

غیرهمسوگرد است.

### ۴-۱. طراحی ملخ‌های سیستم پیشran سوختی

برای ارضا کردن قیود بالا بی‌شمار هندسه ممکن برای ملخ وجود دارد، یکی از هندسه‌ها در جدول ۲ ارائه شده است.

جدول ۲. هندسه ملخ سیستم پیشran سوختی

مقدار	پارامتر
۴/۸ متر	قطر
۰/۲۲ متر	طول وتر
NACA 6412	نوع ایرفویل
۳	تعداد پره
۰/۲ متر	قطر توپی
صفر درجه	زاویه پیچش پره

به منظور محاسبه عملکرد ملخ در فاز برخاست از روش BEMT استفاده می‌شود. در جدول ۳ عملکرد ملخ در فاز برخاست، در حالتی که حداقل نیروی پیشran موردنیاز را تأمین می‌کند، ارائه شده است.

جدول ۳. محاسبه عملکرد ملخ در فاز برخاست

مقدار	پارامتر
۱۳۵۰ کیلوگرم	نیروی پیشran (هر ملخ)
۶۱ کیلووات	توان مصرفی (هر ملخ)
۹۶۷ دور در دقیقه	دور
۰/۷۱	ماخ نوک پره
۶۰۲ نیوتون متر	گشتاور

حال باید عملکرد ملخ طراحی شده در فاز کروز نیز بررسی شود. با توجه به اینکه برای محاسبه درگ بدنه ابتدا باید بدنه طراحی شود، در این مرحله نمی‌توان نیروی درگ واردہ بر بدنه را

با برازش منحنی از نوع چندجمله‌ای درجه‌دو،تابع وزن برخاست بر اساس وزن بار و بُرد به صورت فرمول ۱ می‌شود:

(۱)

$$W_{TO} = -292.5 + 3.544W_P + 0.0459R +$$

$$0.00095W_P^2 - 0.0045W_P \times R + 0.0044R^2$$

در رابطه فوق  $W_{TO}$  وزن بار به کیلوگرم و  $R$

اندازه برد به کیلومتر است. با جایگذاری مقدار ۸۰۰ کیلوگرم به عنوان وزن بار و مقدار ۴۰۰ کیلومتر به عنوان بُرد، در تابع برازش شده، وزن برخاست حدود ۲۶۶۵ کیلوگرم تخمین زده می‌شود. حلقه طراحی ارائه شده در شکل ۳ چندین بار تکرار شده است تا درنهایت مقدار تخمینی وزن برخاست با مقدار محاسبه شده آن پس از طراحی زیرسیستم‌ها همگرا شد. اما در این مقاله فقط محاسبات آخرین حلقه طراحی ارائه می‌شود و در حلقه آخر مقدار تخمینی وزن برخاست ۲۲۵۰ کیلوگرم است.

#### ۴. طراحی سیستم پیشran سوختی

با توجه به وزن برخاست تخمینی، می‌توان حداکثر نیروی پیشran موردنیاز را محاسبه کرد و بر اساس آن سیستم پیشran سوختی را طراحی کرد. فرضیه‌های طراحی سیستم پیشran به شرح زیر است:

۱. نسبت حداکثر نیروی پیشran به حداکثر وزن برخاست در سطح دریا حداقل ۱/۲ است؛

۲. پرنده توانایی رسیدن به سرعت ۱۰۰ کیلومتر بر ساعت را در ارتفاع ۳ کیلومتری از سطح دریا دارد؛

۳. حداکثر مقدار عدد ماخ مجاز نوک پره ۰/۸ است؛

۴. سیستم پیشran سوختی شامل دو ملخ



ضریب درگ یک مکعب در جریان مغشوش، در صورتی که وجه آن عمود بر جریان قرار گیرد، ۱/۰۵ است [۱۹]. برای تخمین اولیه، ضریب درگ چندپره برابر با ۱/۰۵ در نظر گرفته می‌شود که بدترین حالت ممکن است. مساحت مرجع در مکعب برای محاسبه درگ، برابر با مساحت یک وجه آن است. با توجه به اینکه ابعاد پرنده به صورت مکعب مستطیل است، مساحت مرجع برابر با مکعب هم حجم آن فرض می‌شود. بنابراین مساحت مرجع طبق رابطه زیر حساب می‌شود:

$$S_{ref,body} = (1.7 \times 5.5 \times 6.72)^{\frac{2}{3}} = 15.80\text{m}^2 \quad (5)$$

از طرفی با توجه به اینکه بار از طریق کابل به بدنه متصل می‌شود، خود بار نیز دارای نیروی درگ خواهد بود. اگر بار به صورت یک مکعب با حجم ۱ مترمکعب فرض شود، بنابراین مساحت مرجع آن برابر با ۱ مترمربع خواهد بود. با توجه به فرضیه‌های بالا، نیروی درگ وارد بر بدنه در سرعت ۱۰۰ کیلومتر بر ساعت و در ارتفاع ۳ کیلومتر از سطح دریا (چگالی هوا برابر با ۰/۹۱ کیلوگرم بر مترمکعب) طبق روابط زیر محاسبه می‌شود:

$$D_{body} = 0.5\rho V^2 S_{ref,body} C_D = 5.85\text{kN} \quad (6)$$

$$D_{payload} = 0.5\rho V^2 S_{ref,payload} C_D = 368.7 \text{ N} \quad (7)$$

$$D_{total} = D_{body} + D_{payload} = 6.22 \text{ kN} \quad (8)$$

با توجه به اینکه نیروی پیشran باید نیروی وزن و درگ را در حالت پایا خنثی کند، می‌توان نوشت:

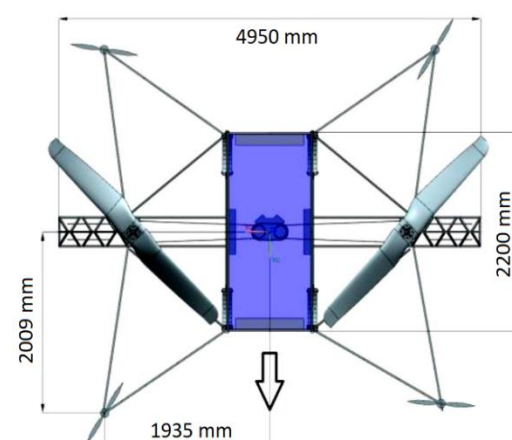
$$\begin{aligned} T \cos(\theta) &= W_{T,0} \\ T \sin(\theta) &= D_{body} \\ \theta &= \tan^{-1} \left( \frac{D_{body}}{W_{T,0}} \right) = 15.7\text{deg} \\ T &= \sqrt{\frac{D_{body}^2 + W_{T,0}^2}{2}} = 1168.8 \text{ kg} \end{aligned} \quad (9)$$

به دقت محاسبه کرد. برای تخمین نیروی درگ بدنه، ابتدا باید اندازه‌های برای بدنه لحاظ کرد. برای SKYF تخمین اولیه ابعاد، از داده‌های پهپاد (ساختار آن مشابه با پرنده در حال طراحی است) استفاده شده و بر حسب نسبت قطر ملخ ابعاد آن بزرگ‌نمایی می‌شود. قطر ملخ‌های این پهپاد، برابر با ۲/۸ متر است. طبق شکل‌های ۴ و ۵، رابطه بین ابعاد بدنه پهپاد SKYF بر حسب اندازه ملخ سوختی آن را می‌توان در معادله‌های زیر خلاصه کرد:

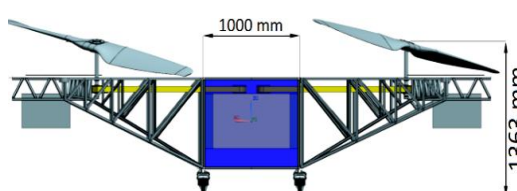
$$Width = 1.15 \times 2 \times R_{prop} \quad (2)$$

$$Length = 1.43 \times 2 \times R_{prop} \quad (3)$$

$$Height = 0.71 \times R_{prop} \quad (4)$$



شکل ۴. ابعاد پهپاد SKYF (دید از بالا) [۱۸]



شکل ۵. ابعاد پهپاد SKYF (دید از رویه‌رو) [۱۸]

با جایگذاری اندازه شعاع ملخ طراحی شده ۲/۴ متر) در روابط ۲، ۳ و ۴ مقدار تخمینی عرض، طول و ارتفاع برابر با ۵/۵ متر، ۶/۷ متر و ۱/۷ متر به دست می‌آید.

عملکرد ملخ را تحت تأثیر قرار می‌دهد. نتیجه محاسبه عملکرد ملخ‌ها در حالت حداکثر سرعت صعود پونده در ارتفاعات مختلف، طبق روش BEMT، در این بخش ارائه خواهد شد. جدول ۵ نشان می‌دهد پونده (با حداکثر وزن برخاست) در هر ارتفاع حداکثر به چه سرعتی می‌رسد (با معیار مقدار مجاز ماخ نوک پره).

جدول ۵. حداکثر سرعت در فاز صعود

ارتفاع از سطح دریا (km)	حداکثر سرعت صعود (m/s)
۰	۲۱
۱	۱۹
۲	۱۷
۲/۵	۱۵
۳	۱۰

برای محاسبه زمان رسیدن به هر ارتفاع از سطح دریا، از روابط زیر استفاده می‌شود:

$$\frac{dH}{dt} = V_{climb} \rightarrow \int_0^H \frac{du}{V_{climb}(u)} = \Delta t \quad (11)$$

در روابط فوق  $H$  ارتفاع از سطح دریا (برحسب کیلومتر)،  $t$  زمان و  $V_{climb}$  حداکثر سرعت صعود (برحسب کیلومتر بر ساعت) است. برای محاسبه زمان لازم برای رسیدن به ارتفاع  $H$ ، کافی است تابع  $1/V_{climb}$  را بر اساس جدول ۵ تخمین زده و از آن انتگرال گرفته شود. با برآش یک چندجمله‌ای می‌توان  $1/V_{climb}$  به صورت زیر تخمین زد:

$$\frac{1}{V_{climb}} = 7.7H^3 - 24.03H^2 + 22.78H + 47.43 \quad (12)$$

با انتگرال گیری از رابطه بالا خواهیم داشت:

در رابطه  $\theta$  زاویه چرخش پونده به سمت جلو و  $T$  مقدار نیروی پیشران یک ملخ است. با توجه زاویه چرخش پونده می‌توان مؤلفه سرعت جریان هوا که عمود بر صفحه ملخ است را محاسبه کرد. حال می‌توان با استفاده از روش BEMT، عملکرد ملخ طراحی شده را در فاز کروز بررسی کرد. پارامترهای عملکردی ملخ در جدول ۴ ارائه شده است. طبق جدول ۴ ماخ نوک پره از مقدار مجاز بیشتر نشده و درنتیجه این ملخ در فاز کروز نیز عملکرد قابل قبول دارد. طبق مرجع [۲۰] وزن ملخ برحسب پوند از رابطه زیر محاسبه می‌شود:

$$W_B = 0.026b^{0.66}cR^{1.3}(\Omega R)^{0.67} \quad (10)$$

در رابطه فوق  $W_B$  وزن کل ملخ برحسب پوند،  $b$  تعداد پره‌های ملخ،  $c$  کورد ملخ برحسب فوت،  $R$  شاعر ملخ برحسب فوت و  $\Omega$  حداکثر سرعت دورانی ملخ برحسب رادیان بر ثانیه است. با جایگذاری مقادیر ملخ طراحی شده در رابطه بالا، وزن ملخ برابر با  $۲۴/۳$  کیلوگرم به دست می‌آید.

جدول ۴. محاسبه عملکرد ملخ در فاز کروز

پارامتر	مقدار
نیروی پیشران (هر ملخ)	۱۱۷۰ کیلوگرم
توان مصرفی (هر ملخ)	۸۳/۸ کیلووات
دور	۱۰۴۴ دور بر دقیقه
ماخ نوک پره	۰/۸
گشتاور	۷۶۶/۵ نیوتن متر

در این مرحله، عملکرد پونده در فاز صعود و مدت‌زمان صعود از ارتفاع صفر تا ۳ کیلومتر از سطح دریا بررسی می‌شود. چگالی هوا برحسب ارتفاع از سطح دریا متغیر است و این مسئله



### ۴-۳. محاسبه مقدار سوخت موردنیاز

مطابق راهنمای کاربر موتورهای Lycoming می‌توان مقدار مصرف سوخت را در هر فاز تخمین زد [۲۱]. بر اساس این راهنمای کاربر، در فاز کروز (با فرض حداکثر وزن برخاست) هر موتور حدود ۸/۵ گالن بر ساعت (۳۲ لیتر بر ساعت) سوخت مصرف می‌کند. با فرض اینکه فاز کروز ۴ ساعت طول بکشد، کل سوخت موردنیاز فاز کروز حداکثر برابر با ۲۵۶ لیتر خواهد بود. عدد به دست آمده بیش از مقدار سوخت موردنیاز فاز کروز است، زیرا در حین پرواز وزن چندپره کم شده و درنتیجه مصرف سوخت آن نیز کم می‌شود. با توجه به اینکه فاز صعود تنها ۳ دقیقه طول می‌کشد، از مصرف سوخت این فاز صرف نظر می‌شود. سوخت موتور Lycoming O-360-A از نوع Avgas است. چگالی این سوخت حدود ۷۱۹ کیلوگرم بر مترمکعب است. بنابراین جرم سوخت موردنیاز برابر با ۱۸۵ کیلوگرم خواهد بود.

### ۵. طراحی سیستم انتقال قدرت

سیستم انتقال قدرت شامل دو جعبه‌دنده از نوع مخروطی است، زیرا موتور طوری نصب می‌شود که شفت آن افقی است، در حالی که شفت ملخ باید عمودی باشد. در این بخش به جای طراحی، یک جعبه‌دنده موجود که می‌تواند در چندپره مورداستفاده قرار گیرد، انتخاب می‌شود.

### ۵-۱. الزامات انتخاب جعبه‌دنده

مطابق جدول ۴ دور ملخ در فاز کروز برابر با ۱۰۴۴ دور بر دقیقه و توان مصرفی آن برابر با ۸۳/۸ کیلووات (۱۱۲ اسب بخار) است. با توجه به ارتفاع و توان مصرفی فاز کروز، طبق شکل ۶ دور

$$\begin{aligned} T_{\text{climb}} = & 1.85H^4 - 8.01H^3 \\ & + 11.39H^2 \\ & + 47.43H \end{aligned} \quad (13)$$

با جایگذاری ارتفاع فاز کروز (۳ کیلومتر) در رابطه بالا، مدت زمان صعود از سطح دریا تا ارتفاع فاز کروز، ۱۷۸ ثانیه به دست می‌آید.

### ۴-۲. طراحی موتور پیستونی

موتور پیستونی بر اساس میزان توان موردنیاز از میان موتورهای موجود می‌شود. یکی از موتورهایی که قابلیت تأمین توان یک ملخ در فازهای کروز و برخاست را دارد، موتور Lycoming O-360-A است. مشخصات این موتور در جدول ۶ ارائه شده است.

جدول ۶. مشخصات موتور Lycoming O-360

مدل موتور	O-360-A1A
حداکثر توان	۱۸۰ اسب بخار (در سطح دریا)
تعداد سیلندر	۴
حداکثر دور	۲۷۰۰
وزن خالص	۱۳۱/۶ کیلوگرم
ارتفاع	۰/۶۲ متر
عرض	۰/۸۵ متر
طول	۰/۷۵ متر

طبق جدول ۶ توان تولیدی این موتور در فاز برخاست کافی است؛ اما توان تولیدی موتور با افزایش ارتفاع کاهش می‌یابد، بنابراین باید قابلیت استفاده از این موتور در فاز کروز بررسی شود. طبق نمودار عملکردی این موتور (شکل ۶) در ارتفاع ۳ کیلومتر از سطح دریا، در شرایط استاندارد، قابلیت تأمین حداقل ۱۳۰ اسب بخار (۹۷ کیلووات) را دارد. بنابراین این موتور قابل استفاده در فاز کروز است.

سال ۱۱- شماره ۱  
بهار و تابستان ۱۴۰۱  
نشریه علمی دانش و  
فناوری هوا فضا



۱۱- شماره ۱  
بهار و تابستان ۱۴۰۱  
نشریه علمی دانش و  
فناوری هوا فضا

محاسبه شود.

## ۶-۱. تخمین ممان اینرسی اجزا در دستگاه مختصات بدن

برای تخمین ممان اینرسی، تمام اجزای پرنده به جز ملخ به شکل مکعب فرض می‌شوند. بعضی از اجزا، مانند موتورهای الکتریکی، سازه و ... هنوز طراحی نشده‌اند. برای تخمین ممان اینرسی آن‌ها، ممان اینرسی یک مکعب مستطیل به ابعاد چندپره (طبق بخش ۴-۱) که وزن آن برابر با اختلاف وزن برخاست تخمینی و وزن اجزای طراحی شده است، محاسبه می‌شود. در جدول ۷ نتیجه محاسبه ممان اینرسی ارائه شده است. لازم به ذکر است که محور  $x$  بدنی هر جزء موازی با راستای حرکت مستقیم پرنده بوده و محور  $y$  بدنی هر جزء موازی با خط اتصال مرکز ملخ‌های موتور بنزینی است.

موتور در فاز کروز حدود ۲۱۰۰ دور بر دقیقه است. بنابراین نسبت دور جعبه‌دنده باید حدود ۲ باشد. همچنین جعبه‌دنده باید قابلیت تحمل حداکثر دور موتور، یعنی ۲۷۰۰ دور بر دقیقه را داشته باشد. جعبه‌دنده Servomech BG 250 تمام ملزمات موردنیاز را دارد. مطابق [۲۲]، وزن این جعبه‌دنده برابر با ۱۴۵ کیلوگرم بوده و ابعاد آن حدود ۲۵ × ۴۴ × ۲۵ سانتی‌متر در ۴۴ سانتی‌متر در ۲۵ سانتی‌متر است.

## ۶. تخمین ممان اینرسی

برای محاسبه ممان اینرسی چندپره در دستگاه مختصات بدن، ابتدا باید ممان اینرسی هر کدام از اجزا در دستگاه مختصات بدن خود محاسبه شده و با استفاده از قانون محورهای موازی، ممان اینرسی اجزا در دستگاه مختصات بدن چندپره محاسبه شده و در نهایت جمع آن‌ها

۷۱

سال ۱۱- شماره ۱

بهار و تابستان ۱۴۰۱

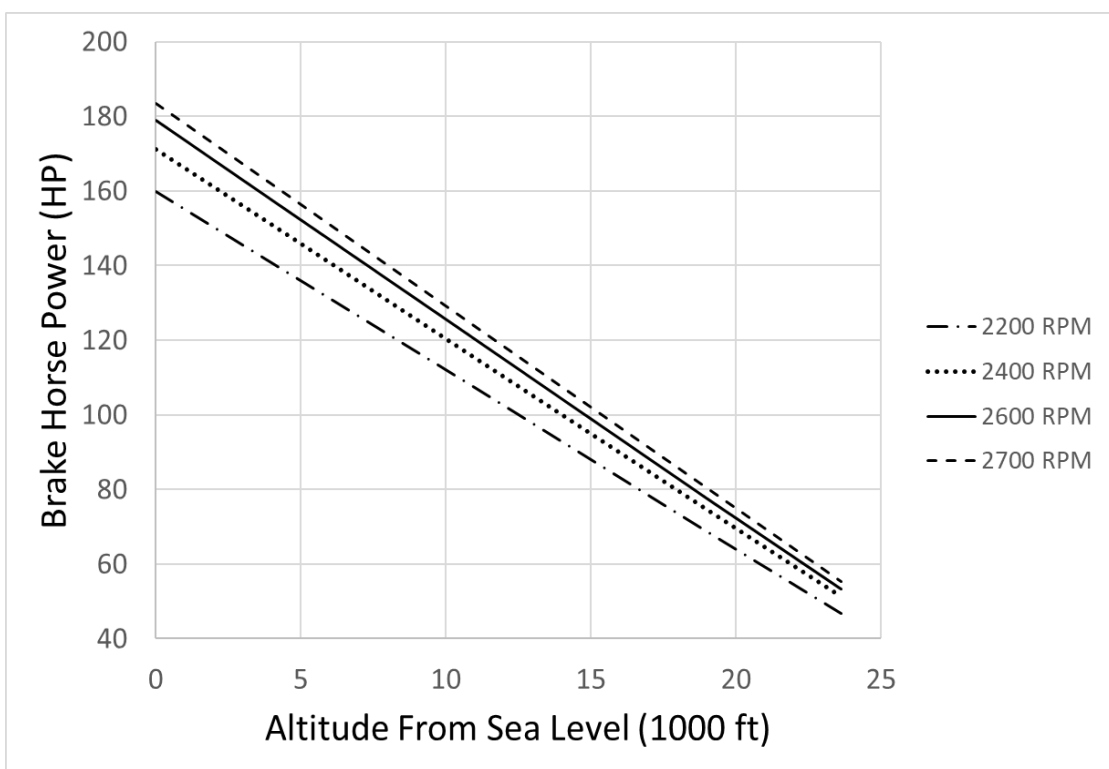
نشریه علمی دانش و

فناوری هوا فضا



کتابخانه ملی  
دانشگاه  
علمی و فناوری  
هوا فضا  
با هدف ارتقاء  
قدرات علمی و  
تکنولوژیکی  
دانشگاه

حمل  
بزرگ



شکل ۶. نمودار عملکردی و مصرف سوخت موتور [۲۱] Lycoming O-360-A

(۱۴)

$$I_{XX} = 2I_{XX,engine} + 2I_{XX,gearbox} + \\ 2I_{XX,propeller} + I_{XX,fuel} + I_{XX,other} = \\ 4778.8 \text{ kg.m}^2$$
(۱۵)

$$I_{YY} = 2I_{YY,engine} + 2I_{YY,gearbox} + \\ 2I_{YY,propeller} + I_{YY,fuel} + I_{YY,other} = \\ 2676.9 \text{ kg.m}^2$$

جدول ۸. ممان اینرسی اجزای چندپره در دستگاه  
مختصات بدنه چندپره

$I_y \text{ kg.m}^2$	$I_x \text{ kg.m}^2$	重心 (kg)	$P_y \text{ (m)}$	جزء
38/10	31/328	6/131	55/1	موتور
09/3	37/944	145	55/2	جعبه‌دنده
74/15	74/15	5/210	0	باک سوخت
28/35	6/194	5/24	55/2	ملخ

۷. طراحی سیستم پیشران الکتریکی

معیار طراحی سیستم پیشران الکتریکی، توانایی آن در ایجاد شتاب زاویه‌ای است. سیستم پیشران الکتریکی به نحوی طراحی می‌شود که قابلیت ایجاد شتاب زاویه‌ای  $0/20$  رادیان بر محدوده دو ثانیه حول محور  $x$  و  $y$  را داشته باشد. سخت‌ترین شرایط پروازی حالتی است که در آن پرنده حداکثر بار را با حداکثر سرعت در سقف پروازی جابه‌جا می‌کند. از آنجایی که بار داخل بدنه قرار نمی‌گیرد و به وسیله کابل به بدن متصل می‌شود، امکان دارد، امتداد کابل دقیقاً از مرکز جرم پرنده عبور نکند و درنتیجه مقداری گشتاور ناخواسته ایجاد کند. مقدار انحراف خط اثر وزن بار از مرکز جرم به اندازه  $30$  سانتی‌متر در جهت محور  $X$  و  $30$  سانتی‌متر در جهت محور  $Y$  در نظر گرفته شده است.

جدول ۷. ممان اینرسی اجزای چندپره

اجزاء	ممان اینرسی حول محور $x$ (kg.m <sup>2</sup> )	ممان اینرسی حول محور $y$ (kg.m <sup>2</sup> )	ممان اینرسی حول محور $z$ (kg.m <sup>2</sup> )
موتور بنزینی	۱۲/۱۴	۱۰/۳۸	
جعبه‌دنده	۱/۵۱	۳/۰۹	
باک سوخت	۱۳/۸۴	۱۳/۸۴	
ملخ	۱۸۳۰/۴	۱۸۳۰/۴	
ساپر	۳۵/۲۸	۳۵/۲۸	

## ۶-۶. محاسبه ممان اینرسی کل در دستگاه مختصات بدنه

طبق این قضیه ممان اینرسی یک جسم حول یک محور دلخواه  $A$ ، برابر با جمع ممان اینرسی جسم حول محور عبوری از مرکز جرم و موازی با  $A$  و حاصل ضرب جرم جسم در محدوده فاصله دو محور است. بنا بر این قضیه اگر جانمایی اجزا مشخص شود، می‌توان ممان اینرسی چندپره را در دستگاه مختصات بدنه محاسبه کرد. تمام اجزا در راستای محور طولی بدنه چیده می‌شوند و فاصله ارتفاعی اجزاء از مرکز جرم پرنده ناچیز فرض می‌شود؛ درنتیجه صرفاً فاصله اجزاء از محور عرضی چندپره لحاظ می‌شود. در جدول ۸ نتیجه محاسبه ممان اینرسی اجزاء در دستگاه مختصات بدنه چندپره ارائه شده است. در این جدول  $P_y$  فاصله هر جزء از محور عمودی،  $I_x$  ممان اینرسی در راستای محور  $x$  و  $I_y$  ممان اینرسی در راستای محور  $y$  هستند. مقدار کل ممان اینرسی چندپره در راستای محورهای طولی و عرضی از روابط زیر محاسبه می‌شود:

۷۲

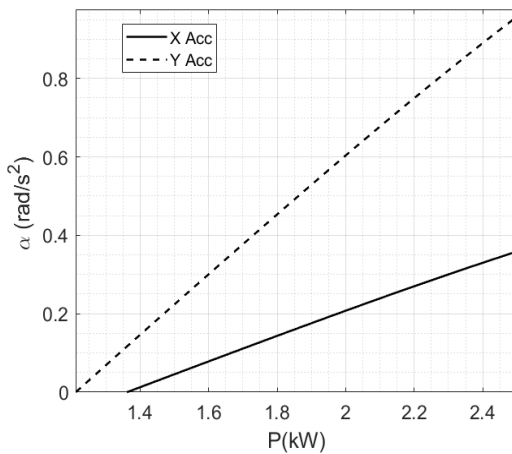
سال ۱۱- شماره ۱  
-----  
بهار و تابستان ۱۴۰۱  
-----  
نشریه علمی دانش و  
فناوری هوا فضا



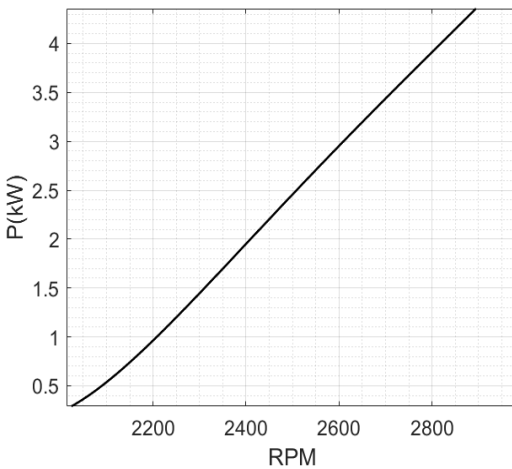
دانشگاه  
علوم  
و فناوری هوا فضا  
شاهرود

لحاظ کردن ضریب اطمینان ۱/۱ وزن باتری از رابطه زیر محاسبه می‌شود:

$$W_{battery} = 1.1 \times \frac{8400 \times 4}{135} = 273.8 \text{ kg} \quad (16)$$



شکل ۷. حداکثر شتاب زاویه‌ای قابل دستیابی بر حسب توان مصرفی متوسط موتور الکتریکی



شکل ۸. توان یک ملخ الکتریکی بر حسب دور (شرایط کروز)

## ۸. طراحی سازه بدن و اسکید

با توجه به اینکه در این مقاله به طراحی مفهومی چندپره پرداخته می‌شود، برای سازه بدن و اسکید شکل ساده‌ای لحاظ شده و بر اساس معیار تنش، ابعاد آن محاسبه می‌شود. سازه اولیه متشکل از ۳ تیر و به شکل H در نظر گرفته شده

در جدول ۹ مشخصات هندسی یک نمونه ملخ قابل استفاده برای سیستم پیشran الکتریکی ارائه شده است.

جدول ۹. مشخصات هندسی ملخ سیستم پیشran الکتریکی

تعداد پره	4
متر	شعاع
متر	کورد
NACA 6412	ایروفیل
0	زاویه پیچش

در شکل ۷ مقدار حداکثر شتاب زاویه‌ای قابل دست‌یابی (در صورت حمل ۸۰۰ کیلوگرم بار) بر حسب توان متوسط یک موتور الکتریکی (نصف حداکثر توان موتور یک موتور الکتریکی) رسم شده است. محاسبات بر اساس روش BEMT انجام شده است. مطابق شکل ۷ برای دستیابی به شتاب زاویه‌ای  $0.2 \text{ rad/s}^2$  رادیان بر محدود ثانیه در راستای محور X، توان متوسط یک موتور الکتریکی باید  $2.1 \text{ kW}$  باشد. بنابراین مجموع توان مصرفی متوسط موتورهای الکتریکی  $8/4 \text{ kW}$  کیلووات است. درنتیجه طبق شکل ۸ دور آن باید از  $2000$  تا  $2800$  دور بر دقیقه متغیر باشد. بنا بر اطلاعات موجود در بازار، وزن موتور یک موتور DC و براشلس با ویژگی‌های فوق در حدود  $18 \text{ kg}$  است.

نوع باتری مورد استفاده لیتیومیون است. طبق مرجع [۲۳] انرژی مخصوص باتری‌های لیتیومیون معمول حدود  $135 \text{ Wh}$  است. با توجه به اینکه توان متوسط یکیلوگرم است. سیستم پیشran الکتریکی برابر با  $8/4 \text{ kW}$  کیلووات بوده و مدت زمان پرواز تقریباً  $4$  ساعت است، با

تیر، سطح مقطعی که بیشینه تنش کششی را تحمل می‌کند، به دست می‌آید. حداکثر تنش نرمال برای تیرهای متقاضن در حالتی که تحت گشتاور خمشی باشد، طبق رابطه زیر به دست می‌آید [۲۵]:

$$\sigma = \frac{Mh}{2I} \quad (17)$$

در رابطه بالا،  $\sigma$  تنش خمشی در سطح مقطع،  $M$  گشتاور وارده بر سطح مقطع،  $h$  ضخامت تیر و  $I$  ممان اینرسی سطح مقطع است. با جایگذاری حداکثر تنش قابل تحمل تیر (تنش تسلیم) در رابطه بالا، نسبت ضخامت تیرها به ممان اینرسی آن‌ها به دست می‌آید:

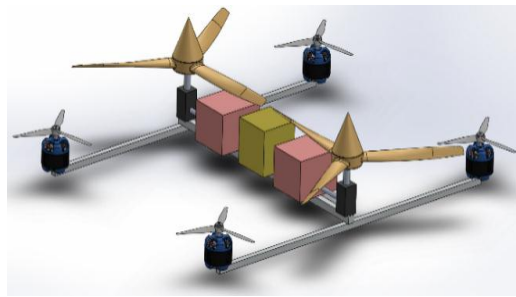
$$\frac{h}{I} = \frac{2\sigma_y}{kM_{max}} \quad (18)$$

مقدار  $k$  در رابطه فوق ضریب اطمینان طراحی است و طبق استاندارد CAD 2708 مقدار آن باید حداقل  $1/5$  باشد. بنابراین مقدار  $k$  برابر با  $1/5$  در نظر گرفته خواهد شد. بنابراین با داشتن مقدار بیشینه گشتاور و مقدار تنش تسلیم برای ماده موردنظر، حداکثر  $h/I$  با استفاده از رابطه ۱۸ محاسبه می‌شود. بر اساس این مقدار از جدول استاندارد تیرهای I شکل، سایز مناسب انتخاب شده و جرم کل تیر محاسبه می‌شود.

### ۳-۸. طراحی ابعاد تیرهای بدنه

در حین پرواز بیشترین نیرو در لحظه فرود به پرنده وارد می‌شود. برای یافتن ابعاد مناسب تیرهای اصلی و تیرهای جانبی، ابتدا باید بارگذاری در حالت فرود به دست آید. مطابق استاندارد CAD 2708، سازه اصلی روتورکرفت<sup>۴</sup> باید در حین فرود اضطراری قادر به تحمل شتابی معادل با ۱۲ برابر شتاب جاذبه زمین باشد. البته این استاندارد برای روتورکرفت سرنوشت‌دار نوشته شده و ضرایب اطمینان برای

است. در شکل ۹ شمای کلی سازه و اجسامی که روی آن قرار گرفته‌اند، قابل مشاهده است. پروفیل تیرها I شکل در نظر گرفته شده است. زیرا پروفیل I شکل از مناسب‌ترین پروفیل‌ها برای تحمل گشتاور خمشی است.



شکل ۹. شمای کلی سازه و بارگذاری روی آن

## ۱-۸. انتخاب جنس سازه

طبق مرجع [۲۴] آلیاژهای آلومینیوم قیمت ارزان، وزن سبک و سختی متوسطی داشته؛ بنابراین در اکثر سازه‌های هوایی استفاده می‌شوند. همچنین طبق این مرجع آلیاژهای سخت آلومینیوم قسمت عمده (بین ۷۰ تا ۸۰ درصد) بدنه هواپیماها (به خصوص هواپیماهای که قبل از سال ۲۰۰۰ میلادی ساخته شده‌اند) را تشکیل می‌دهد. بنا بر گزاره‌های بالا، آلیاژ آلومینیوم T6-۲۰۱۴، که از آلیاژهای سخت آلومینیوم محسوب می‌شود، برای ساخت اسکلت سازه استفاده خواهد شد. طبق مرجع [۲۵] چگالی آلومینیوم T6-۲۰۱۴ برابر با ۲۸۰۰ کیلوگرم بر مترمکعب و تنش تسلیم آن برابر با ۴۰۰ مگاپاسکال است.

## ۲-۸. روش تعیین ابعاد برای سطح مقطع تیرها

در حالت حداکثر وزن برخاست (۲۲۵۰ کیلوگرم)، با ترسیم بارهای وارده به هر یک از تیرها و به دست آوردن توزیع گشتاور در طول

می‌شود. طول تیر اصلی برابر با  $5/5$  متر و طول تیر جانبی برابر با  $6/7$  متر (طبق محاسبات بخش ۱-۴) در نظر گرفته شده است. در جدول ۸ موقعیت اجزای چندپره در صفحه افقی داده شده است. همچنین، فاصله هر موتور الکتریکی از محور  $z$  برابر با  $3/3$  متر و از محور  $x$  برابر با  $2/75$  متر است. با استفاده از داده‌های جدول بالا، معادله‌های بخش ۸-۲ و روند طراحی معرفی شده، تیر اصلی از نوع  $S12 \times 31.8$  و تیر جانبی از نوع I80 بوده و مجموع وزن سازه بدنی برابر با  $121/3$  کیلوگرم خواهد بود.

#### ۴-۸. طراحی اسکید فروود

هندسه اسکید باید ویژگی‌های زیر را داشته باشد:

(۱) طول اسکید باید به اندازه‌ای باشد که بدن، ارتفاع کافی از سطح زمین برای راحتی در بارگذاری داشته باشد؛

(۲) زوایای اسکید با بدن باید به اندازه‌ای باشد که در هنگام فرود برای چندپره پایداری طولی و عرضی ایجاد کند؛

(۳) سطح مقطع اسکید باید برای تحمل گشتاور خمشی مناسب باشد.

با توجه به ویژگی‌های ۱ و ۲، ارتفاع بدن از سطح زمین برابر با ۱ متر لحاظ می‌شود. از طرفی زاویه اسکید با بدن در نمای دید از رو به رو ۱۲۰ درجه و زاویه اسکید با بدن در نمای دید از کنار برابر با  $45$  درجه در نظر گرفته می‌شود (شکل‌های ۱۰ و ۱۱). برای عدم وارد شدن ضربه به تیرهای جانبی سازه بدن (که تسبت به تیر اصلی سست‌تر هستند)، شکل اسکید به صورت مثلثی در نظر گرفته شد تا هنگام فرود، نیروی ناشی از ضربه به بدن اصلی وارد شود. با

طراحی پرنده بدون سرنشین کمتر از پونده سرنشین‌دار است. در این مقاله شتاب فرود  $4$  برابر شتاب جاذبه زمین در نظر گرفته خواهد شد. در شکل ۱۲ بارگذاری تیر میانی در لحظه فرود نمایش داده شده است. حاصل ضرب شتاب اینرسی اجرا در جرم آن‌ها به صورت نیرو در نظر گرفته شده است، درنتیجه بارگذاری نمایش داده شده در حال تعادل است. در این شکل شتاب جاذبه با نماد  $g$ ، شتاب لحظه فرود با نماد  $a$  نیروی تکیه‌گاه با نماد  $N$  و نیروی اینرسی تیر با فلاش‌های آبی‌رنگ نشان داده شده است. مقدار نیروی تکیه‌گاه را، با توجه به تعادل بارگذاری، می‌توان طبق معادله زیر به دست آورد:

$$N = \frac{1}{2}(a + g)(2m_{Gear} + 2m_{Prop} + 2m_{Engine} + m_{Fuel} + m_p + m_{Battery} + m_{Main}) \quad (19)$$

در رابطه بالا تمامی مقادیر، به جز جرم تیر که با  $m_{Main}$  نمایش داده شده، معلوم است. از آنجایی که مقدار جرم تیر وابسته به مقدار نیروی تکیه‌گاه است، باید به صورت تکراری، مطابق روند زیر مقدار آن را به دست آورد:

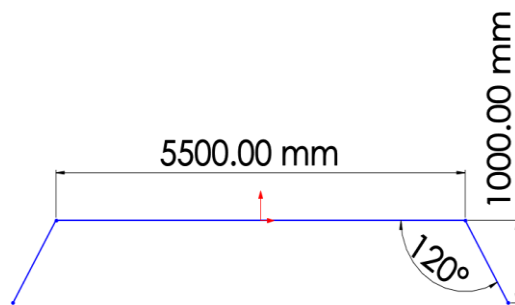
۱. مقداری جرم تیر حدس زده می‌شود؛
۲. مقدار  $N$  محاسبه می‌شود؛
۳. گشتاور بیشینه محاسبه می‌شود؛
۴. با استفاده از روابط بخش ۸-۲ جرم تیر حساب می‌شود؛

۵. اگر مقدار محاسبه شده و مقدار حدسی جرم تیر کمتر از  $1$  درصد اختلاف داشته‌ند، محاسبه به اتمام رسیده است. در غیر این صورت، روند از گام اول تکرار می‌شود. روند محاسبه ابعاد سطح مقطع تیرهای جانبی کاملاً مشابه با تیر اصلی است. در دو طرف تیر جانبی نیرویی به اندازه  $(a + g)m_{motor}$  وارد

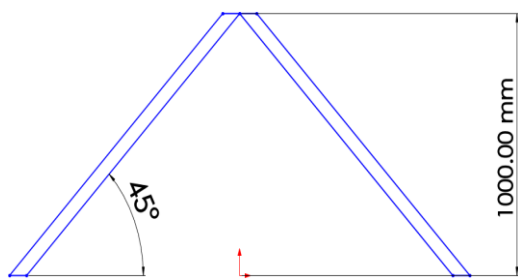
جدول ۱۰ وزن زیرسیستم‌های طراحی شده و وزن بار ارائه شده است. مطابق این جدول مجموع وزن زیرسیستم‌های طراحی شده ۲۱۶۴/۲ کیلوگرم است. بنابراین تخمین اولیه وزن برخاست (۲۲۵۰ کیلوگرم) تقریباً برابر با مقدار وزن برخاست محاسبه شده است. همچنین باید توجه داشت که برخی از اجزای پرنده در این فاز طراحی لحاظ نشده‌اند؛ برای نمونه پمپ سوخت، پمپ روغن برای جعبه‌دنده و موتور سوختی، سیستم‌های اویونیکی، کابل‌ها و ... لحاظ نشده‌اند. با لحاظ کردن وزن این زیرسیستم‌ها، اختلاف کمتر نیز خواهد شد. درمجموع می‌توان گفت مقدار به‌دست‌آمده برای وزن برخاست قابل قبول است.

در این مقاله، روش طراحی یک چندپره با ساختاری جدید با قابلیت حمل بار ۸۰۰ کیلوگرم و بُرد ۴۰۰ کیلومتر، با کاربرد مدیریت بحران بررسی شد. با توجه به عملکرد تعریف شده، سیستم پیش‌ران هیبرید بدون تبدیل انرژی انتخاب شد. بدین صورت که وظیفه حمل بار بر عهده موتورهای سوختی و وظیفه کنترل بر عهده موتورهای الکتریکی قرار گرفت. طراحی مفهومی مبتنی بر وزن برخاست چندپره انجام شد. وزن برخاست پرنده در حدود ۲۲۵۰ کیلوگرم، توان دو موتور پیستونی برابر با ۱۸۰ اسب بخار، قطر ملخ‌های سوختی برابر با ۴/۸ متر، حداکثر توان چهار موتور الکتریکی برابر با ۴/۲ کیلووات، قطر ملخ‌های الکتریکی برابر با ۱/۲ متر و ابعاد بدنے برابر با ۶/۷۲ متر در ۵/۵ متر در ۱/۷ متر به دست آمد. با توجه به مشخصات گفته شده این پرنده می‌تواند در کاربرد حمل وسایل ضروری و کمک به منطقه آسیب‌دیده، همچنین ایجاد شبکه مخابراتی موقت استفاده شود.

در نظر گرفتن ویژگی‌های بیان شده، طول هر تیر اسکید برابر با ۱/۶۳ متر و زاویه آن با خط عمود بر زمین برابر با ۵۲/۲۴ درجه به دست می‌آید.



شکل ۱۰. دید از رو به روی بدن و اسکید فرود



شکل ۱۱. دید از کنار اسکید فرود چندپره

## سطح مقطع اسکید با فرض فرود در شرایط

زیر طراحی می‌شود:

۱) هنگام فرود یکی از تیرهای اسکید به زمین برخورد می‌کند؛

۲) ضربه با زاویه ۹۰ درجه نسبت به راستای تیر، به اسکید وارد می‌شود؛

۳) شتاب وارد به پرنده ۴ برابر شتاب جاذبه زمین است.

با استفاده از معادله‌های بخش ۲-۸ مقطع S12x31.8 برای تیرهای اسکید انتخاب می‌شود. همچنین جرم کلی اسکید برابر با ۱۱۰/۳ کیلوگرم به دست می‌آید.

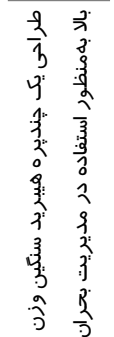
۷۶

سال ۱۱- شماره ۱

بهار و تابستان ۱۴۰۱

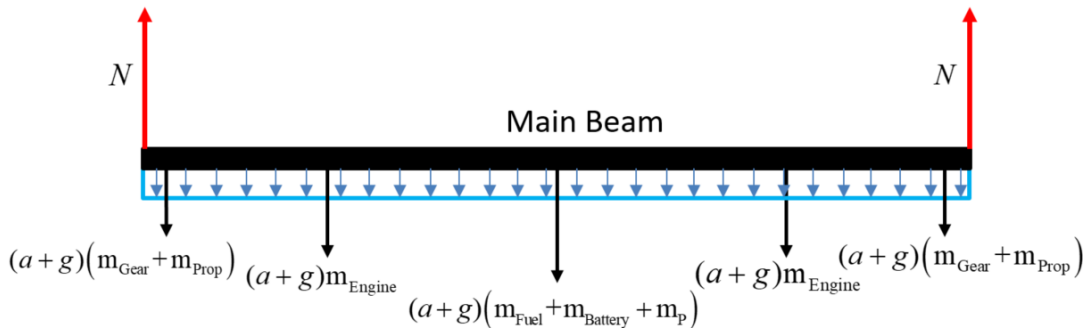
نشریه علمی دانش و

فناوری هوا فضا



## ۹. نتیجه‌گیری

برای ارزیابی، طراحی وزن برخاست تخمینی با وزن برخاست محاسبه شده مقایسه می‌شود. در



شکل ۱۲. بارگذاری تیر اصلی در حین فرود

Disaster Management: A Scoping Review," *Science & Justice* 62, no. 1 (2022): 30-42.

5. Koki Yakushiji, Hiroshi Fujita, Mikio Murata, Naoki Hiroi, Yuuichi Hamabe, and Fumiatsu Yakushiji, "Short-Range Transportation Using Unmanned Aerial Vehicles (Uavs) During Disasters in Japan," *Drones* 4, no. 4 (2020): 68.
6. K. Yakushiji, F. Yakushiji, and H. Fujita, "The Quality of Blood Dropped from an Unmanned Aerial Vehicle (Drone)," *Hematology & Transfusion International Journal* 8 (2020): 38-40.
7. Fumiatsu Yakushiji, Koki Yakushiji, Mikio Murata, Naoki Hiroi, Keiji Takeda, and Hiroshi Fujita, "The Quality of Blood Is Not Affected by Drone Transport: An Evidential Study of the Unmanned Aerial Vehicle Conveyance of Transfusion Material in Japan," *Drones* 4, no. 1 (2020): 4.
8. Timothy Amukele, Paul M Ness, Aaron AR Tobian, Joan Boyd, and Jeff Street, "Drone Transportation of Blood Products," *Transfusion* 57, no. 3 (2017): 582-88.
9. Lino Guzzella and Antonio Sciarretta, *Vehicle Propulsion Systems* (Heidelberg: Springer, 2013), 10-11.
10. Teresa Donateo, Luigi Spedicato, and Davide Pio Placentino, "Design and Performance Evaluation of a Hybrid Electric Power System for Multicopters," *Energy Procedia* 126 (2017): 1035-42.
11. Matija Krznar, Danijel Pavković, Mihael Cipek, and Juraj Benić,

جدول ۱۰. وزن زیرسیستم‌های طراحی شده و بار

سیستم	وزن (کیلوگرم)
سیستم پیشران سوختی	۴۹۶/۸
سیستم انتقال قدرت	۲۹۰
سیستم پیشران الکتریکی	۳۴۵/۸
ساژه	۲۳۱/۶
بار	۸۰۰
جمع	۲۱۶۴/۲

#### ۱۰. مراجع

1. Max Roser Hannah Ritchie. "Natural Disasters." OurWorldInData.org. Last modified Accessed 2014. <https://ourworldindata.org/natural-disasters>.
2. Milan Erdelj, Enrico Natalizio, Kaushik R Chowdhury, and Ian F Akyildiz, "Help from the Sky: Leveraging Uavs for Disaster Management," *IEEE Pervasive Computing* 16, no. 1 (2017): 24-32.
3. Chunbo Luo, Wang Miao, Hanif Ullah, Sally McClean, Gerard Parr, and Geyong Min. "Unmanned Aerial Vehicles for Disaster Management." In *Geological Disaster Monitoring Based on Sensor Networks*, 83-107: Springer, 2019.
4. Sharifah Mastura Syed Mohd Daud, Mohd Yusmiail Putera Mohd Yusof, Chong Chin Heo, Lay See Khoo, Mansharan Kaur Chainchel Singh, Mohd Shah Mahmood, and Hapizah Nawawi, "Applications of Drone in

- 2018.
19. James Carvill, *Mechanical Engineer's Data Handbook* (Oxford: Butterworth-Heinemann, 1994), 163.
  20. R.W. Prouty, *Helicopter Performance, Stability, and Control* (Florida: R.E. Krieger Publishing Company, 1995), 663-665.
  21. Lycoming. *Lycoming Operator's Manual.* 8<sup>th</sup> ed. Williamsport: Lycoming, 2009.
  22. Servomech. *Bevel Gearboxes.* 01/12 vols., 2012.
  23. Ji-San Kim, Dong-Chan Lee, Jeong-Joo Lee, and Chang-Wan Kim, "Optimization for Maximum Specific Energy Density of a Lithium-Ion Battery Using Progressive Quadratic Response Surface Method and Design of Experiments," *Scientific Reports* 10, no. 1 (2020): 1-11.
  24. Adrian Mouritz, *Introduction to Aerospace Materials* (Cambridge: Woodhead Publishing Limited, 2012), 5-8.
  25. J.T. DeWolf, D. Mazurek, F.P. Beer, and E.R. Johnston, *Mechanics of Materials* (New York: McGraw-Hill Education, 2014),
- پی‌نوشت
- 
1. Multicopter
  2. VTOL
  3. Skid
  4. Rotorcraft
- "Modeling, Controller Design and Simulation Groundwork on Multirotor Unmanned Aerial Vehicle Hybrid Power Unit," *Energies* 14, no. 21 (2021): 7125.
12. Matija Krznar, Petar Piljek, Denis Kotarski, and Danijel Pavković, "Modeling, Control System Design and Preliminary Experimental Verification of a Hybrid Power Unit Suitable for Multirotor Uavs," *Energies* 14, no. 9 (2021): 2669.
  13. Danijel Pavković, Matija Krznar, Mihael Cipek, Davor Zorc, and Maja Trstenjak, "Internal Combustion Engine Control System Design Suitable for Hybrid Propulsion Applications," 2020 International Conference on Unmanned Aircraft Systems (ICUAS), 2020.
  14. Matija Krznar, Danijel Pavković, Yuliia Kozhushko, Mihael Cipek, Davor Zorc, and Mladen Crneković, "Control System Design for Hybrid Power Supply of an Unmanned Aerial Vehicle Based on Linearized Averaged Process Models," 2020 International Conference on Unmanned Aircraft Systems (ICUAS), 2020.
  15. Jon Verbeke, Dries Hulens, Herman Ramon, Toon Goedeme, and Joris De Schutter, "The Design and Construction of a High Endurance Hexacopter Suited for Narrow Corridors," 2014 International Conference on Unmanned Aircraft Systems (ICUAS), 2014.
  16. Taehyung Kim and Sungkyung Hong, "Control System Design and Experimental Validation of Hybrid Multicopter for Endurance Enhancement," *Asia-pacific Journal of Modeling and Simulation for Mechanical System Design and Analysis* 2, no. 1 (2017): 15-20.
  17. Jan Roskam, *Airplane Design: Preliminary Sizing of Airplanes* (Kansas: DARcorporation, 1985), 2-4.
  18. Alexander Timofeev. *Skyfchain Operating Platform.* Russia, Kazan,

سال ۱۱ - شماره ۱  
پیار و تایستان ۱۴۰۱

نشریه علمی دانش و  
فناوری هوا فضا



گلزار  
دانش  
و فناوری هوا فضا  
دانشگاه آزاد اسلامی  
تهران